# 高強度繊維補強モルタルを間詰とした UFC 床版と鋼桁の接合部に関する検討

鹿島建設(株) 正会員 〇小嶋進太郎 一宮利通 永井勇輔 阪神高速道路(株) 正会員 小坂 崇 長澤光弥 近藤恒樹

#### 1. はじめに

筆者らは超高強度繊維補強コンクリートを用いた軽量で耐久性の高い道路橋床版(以下,UFC床版)を開発している <sup>1)</sup>. 本床版と鋼桁の接合構造は、一般的な PC 床版と同様、床版に頭付きスタッド(以下、スタッド)用の箱抜きを設けておき、鋼桁と床版間の 50mm 程度の隙間と箱抜き部をモルタルまたは場所打ち UFC で充填して床版と鋼桁を一体化するものである. これまでの検討 <sup>2)</sup> で用いた接合構造では、スタッドの径を 22mmとし、間詰め材にはポリエチレン繊維を 0.2vol%混入したモルタル(以下、仕様 a)を用いた. しかし、主桁支間が大きい橋梁では、スタッドへの作用せん断力が大きいため、必要となるスタッド本数が多くなり配置が困難となる懸念がある. そこで、スタッド径を 25mm に上げ、それに合わせて間詰め材にエトリンガイト生成系の UFC <sup>3)</sup> を用いることで、接合部 1ヵ所当たりの耐力を高めることを検討した. ただし、UFC の配合は間詰め部への充填性を確保するため、長さ 15mm の鋼繊維のみを 0.75vol%混入する配合の UFC (以下、間詰UFC)とした. 本稿では、上記仕様による接合部の構造特性を確認するために実施した、押抜きせん断試験および疲労試験の結果について報告する.

## 2. 試験体概要

押抜きせん断試験・疲労試験それぞれ 3 体ずつ試験を実施したが試験体の仕様は全て同一である. 試験体の正面図および断面図を図-1 に示す. UFC 床版部の厚さは 150mm とし, 径が 25mmのスタッド(JIS B 1198)を片側に 2 本ずつ配置した. 鋼桁を模擬した H 鋼と UFC 床版間の間詰め部の厚さは 50mm とし, 間詰め材には間詰 UFCを用いた. 間詰め部の充填は UFC 床版部を水平に設置して行い,片側の充填を終えた翌日に他方に充填し, $20^{\circ}$ で封緘養生を行った. 試験時における間詰 UFC の圧縮強度は  $142^{\circ}$ 147N/mm²,スタッドの引張強度は  $444^{\circ}$ 17N/mm² であった.

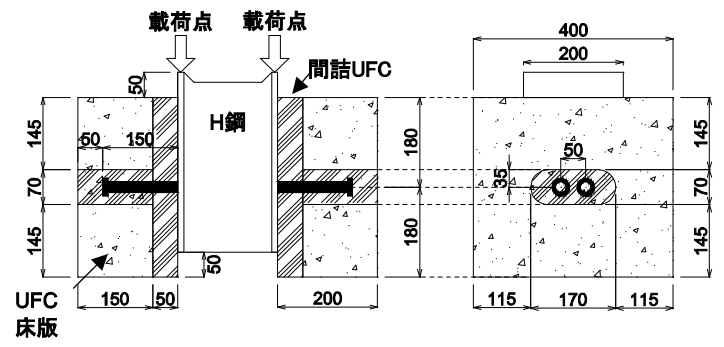


図-1 試験体の正面図および断面図

表-1 押抜きせん断試験の試験ケース・結果

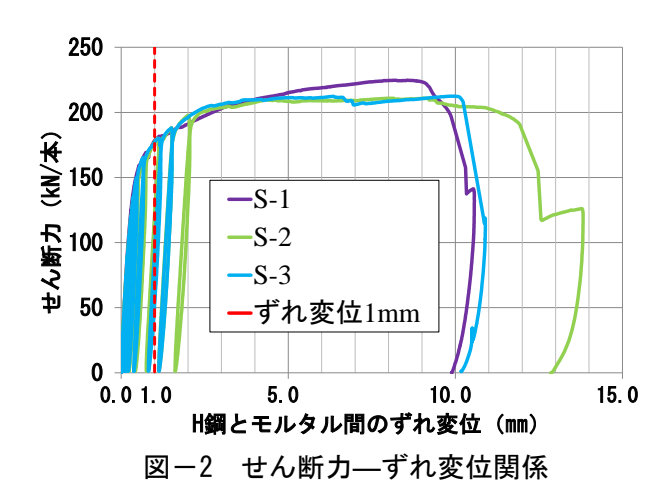
試験体 No.		FC強度 mm <sup>2</sup> ) 引張強度	最大耐力 Pmax (kN/本)	降伏耐力 Py (kN/本)	破壊モード
S-1	146. 6	5. 1	224. 8	155. 5	スタッドの破断
S-2	141 9	5. 1	210. 9	149. 3	間詰めの割裂
S-3			212. 5	151.3	スタッドの破断

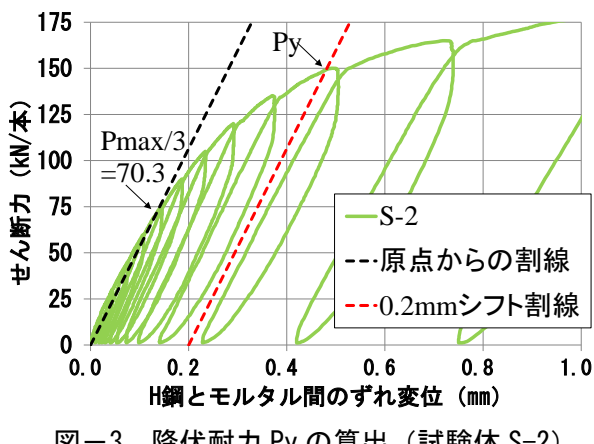
#### 3. 押抜きせん断試験

試験ケースおよび試験結果を表-1 に示す。 S-2 と S-3 は同日の午前と午後で載荷を行った。載荷方法は日本鋼構造協会の試験方法  $^4$  に準じた押抜きせん断試験とし、試験体 S-1 は単調載荷、試験体 S-2 と S-3 は載荷と除荷を繰り返す漸増繰返し載荷とした。 S-1 と S-3 がスタッドの破断で破壊し、 S-2 が間詰めの割裂で破壊したが、最大耐力は  $211\sim225$ kN/本で大きな差はなく、仕様 a の最大耐力約 147kN の約 1.5 倍であった。

スタッドに作用するせん断力とずれ変位の関係を $\mathbf{Z} = \mathbf{Z}$  に示す. いずれの試験体もずれ変位が約  $\mathbf{Z} = \mathbf{Z}$  10mm 程度までは最大耐力に近いせん断力を保持した.

文献 4)に準じて、図-3に示すように最大荷重の 1/3 点の割線を 0.2mm のずれ変位位置にオフセットし、その直線と実験結果が交差する荷重を降伏耐力 Py として算出した結果を表-1 に示す。仕様変更後の降伏耐力は約 150kN/本程度であり、仕様 a の降伏耐力約 100kN/本の約 1.5 倍という結果が得られた。





降伏耐力 Py の算出(試験体 S-2)

### 4. 疲労試験

試験ケースおよび試験結果を表ー2に示す.載荷位置は押抜きせん断試験と同様であるが,下限荷重を5kN, 変動荷重を 116.0kN, 94.9kN および 73.8kN (それぞれ, S-2 における Pmax の 55%, 45%, 35%) として 5Hz で繰返し載荷を行った. 試験結果としてずれ変位の経時変化を**図-4** に示す. いずれの試験体も 0.5mm を超え てからずれ変位の増加が早まり、最終的にスタッド溶接部で破断した.

土木学会「鋼構造物設計指針 PART B」5) に規定される 疲労強度式と試験結果の比較を、仕様 a も含めて図-5 に示す. 仕様 a と仕様変更後の構造では、スタッド径や 耐力は異なるが、どちらもスタッドの破断で疲労破壊し ているため、同じ疲労強度式で評価できると考えられ る. 試験結果はいずれも疲労強度式による予測値を超え ており、この疲労強度式を用いて本構造の疲労寿命を安 全側に評価できることを確認した.

#### 5. おわりに

本研究では、UFC 床版と鋼桁の接合に間詰 UFC を用 いた構造のせん断耐力を確認した. また, 既往の疲労強 度式を用いて安全側に評価できることを確認した.

本研究を行うにあたり,長岡技術科学大学長井正嗣名 誉教授, 東京工業大学二羽淳一郎教授, 岐阜大学内田裕 市教授および神戸大学三木朋広准教授にご指導をいた だきました. ここに深く感謝の意を表します.

#### 参考文献

- 土木学会: UFC 道路橋床版に関する技術評価報告書, 技術推進ライブラリーNo.17, 2015.
- 2) 一宮ら:第72回土木学会年次学術講演会 講演概要集 I-156, 2018
- 土木学会: 超高強度繊維補強コンクリート「サクセム」 の技術評価報告書.技術推進ライブラリーNo.3, 2006.
- 日本鋼構造協会:頭付きスタッドの押抜き試験方法 (案) とスタッドに関する研究の現状, 1996.
- 土木学会:鋼構造物設計指針 PART B, 1987.

表-2 疲労試験の試験ケース・結果

Ē	試験体 No.	間詰UFC	変動荷重	疲労強度	載荷回数	
		圧縮強度	ΔΡ	Δτ	疲労強度式	試験結果
		$(N/mm^2)$	(kN)	$(N/mm^2)$	からの算出	<b>武</b>
	F-1	132.8	116.0	236. 3	1391	25459
	F-2	132.0	94. 9	193. 3	7742	153359
	F-3	135. 1	73.8	150. 4	66119	595785

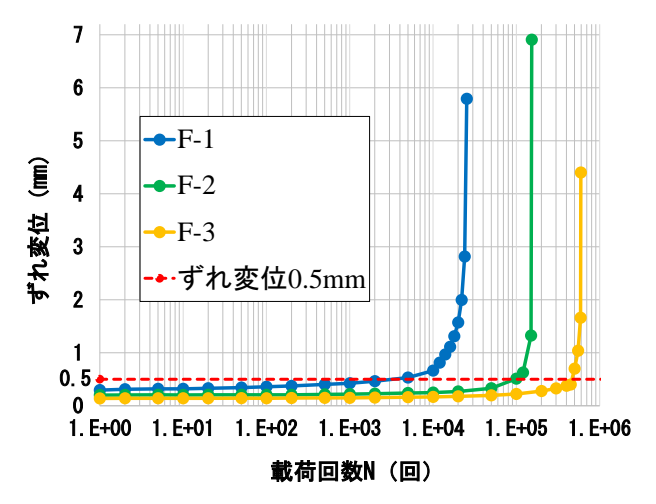


図-4 ずれ変位の経時変化

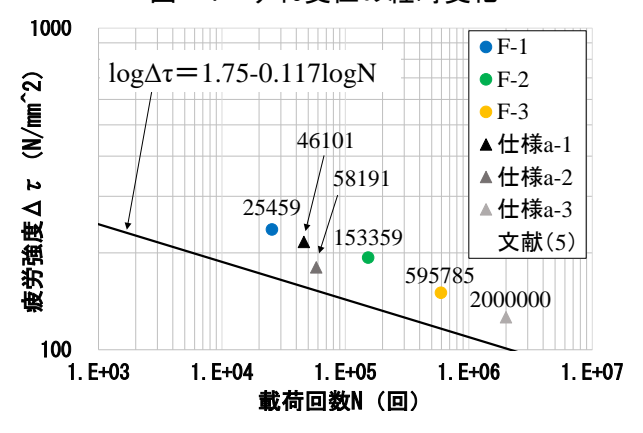


図-5 疲労強度式との比較